

3.4 RG Scaling

3.4.1 Allgemeine Betrachtungen:

Annahme: im "theory space" (Raum aller möglichen Kopplungen) existiert ein Fixpunkt unter RG-Transformations

$$\{K'\} = R(\{K\}) \quad (3.53)$$

(NB: R hängt i.A. von den Details der coarse-graining Prozedur ab, z.B. speziell von b (Skalierungsparameter). \Rightarrow "Renormierungsschemenabhängigkeit")

Fixpunkt: $\{K\} = \{K^*\}$ in allen Kopplungen, $\{K^*\} = R(\{K^*\})$

Fixpunktregime:

$$K_i' - K_{i^*} \approx L_i^{-\nu} (K_i - K_{i^*}) + \mathcal{O}((K - K^*)^2) \quad (3.54)$$

mit $L_i^{-\nu} = \frac{\partial R_i(\{K^*\})}{\partial K_j}$

Seien $\{\phi^I\}$ die Linkseigenvektoren von $L_i^{-\nu}$ (nicht notwendigerweise symmetrisch!) mit Eigenwert λ^I :

$$\phi^{Ii} L_i^{-\nu} = \lambda^I \phi^{Ii} \quad (\text{Summation nur über Index oben-unten}), \quad (3.55)$$

Def. scaling variable:

$$u_{\frac{I}{\nu}} = \phi^{Ii} (K_i - K_{i^*}) \quad (3.56)$$

mit Transformationsverhalten

$$\begin{aligned} \underline{u^I}' &= \Phi^{Ii} (K_i' - K_{i*}) \stackrel{(3.54)}{=} \Phi^{Ii} L_i^j (K_j - K_{j*}) \\ &= \lambda^I \Phi^{Ij} (K_j - K_{j*}) = \underline{\lambda^I u^I} \quad (\text{multiplikativ}) \quad (3.57) \end{aligned}$$

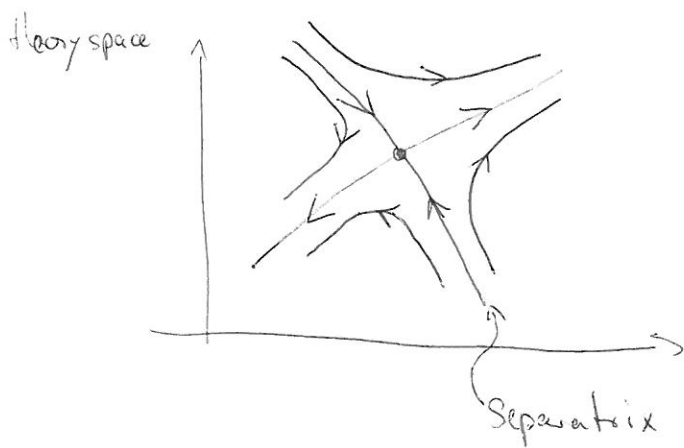
im Fixpunktregime.

Die scaling Variablen u^I bezeichnen Richtungen im "theory space", mit deren Hilfe die Wechselwirkungen der Theorie ~~in~~ des Systems im Fixpunktregime klassifiziert werden können. Sei

$$\lambda^I =: b^{\Theta^I} \quad (3.58)$$

- Falls $\Theta^I > 0$ (eigentlich $\text{Re} \Theta^I > 0$), ist u^I relevant; RG-Transfos führen u^I weg vom Fixpunkt.
- Falls $\Theta^I < 0$, ist u^I irrelevant; RG-Transfos iterieren u^I zu Null.
- Falls $\Theta^I = 0$, ist u^I marginal; das linearisierte Fixpunktregime zu betrachten genügt nicht, höhere Ordnungen werden entscheidend. In jedem Fall verbleibt das System entlang marginaler Richtungen über viele Iterationen hinweg in Fixpunktnähe. (weitere Klassifikation: marginal-relevant / irrelevant)

Beispiel: betrachte einen Fixpunkt mit Δ relevanten Richtungen; dabei habe das System insgesamt n erlaubte Kopplungen, möglicherweise $n \rightarrow \infty$ (theory space: n -dimensional) $\Rightarrow n - \Delta$ irrelevante Richtungen.



\Rightarrow es gibt eine $n-\Delta$ dimensionale Hypertfläche von Punkten, die in den Fixpunkt fließen.

\Rightarrow Das IR Verhalten aller Systeme, die in der Nähe dieser $n-\Delta$ dimensionalen Hypertfläche starten, ist kontrolliert durch den Fixpunkt.

\Rightarrow im IR hat das System alle mikroskopischen Details über $n-\Delta$ Parameter "vergessen"; das System ist bestimmt durch Δ relevante Parameter ("Knöpfe" für den Experimentator), z.B. T und H für den uniaxialen Ferromagneten, p und T für die einfache Flüssigkeit

\Rightarrow Universalität: völlig verschiedene mikroskopische Systeme, die sich in ihren irrelevanten Parametern unterscheiden aber gleiche relevante Parameter haben, zeigen gleiches IR Verhalten.
(Bsp: Ising-Modell und verallgem. Ising-Modell mit "übermächtigster" Nachbar-WW)

\Rightarrow ein kritischer Fixpunkt definiert eine Universalitätsklasse (Systeme mit gleichem IR Verhalten)

3.4.2 Freie Energie und kritische Exponenten in Ising Modellen

vgl. uniaxiale Ferromagnete: 2 experim. "Knöpfe" T und H

\Rightarrow 2 relevante Richtungen $\Theta_t, \Theta_h > 0$

\Rightarrow 2 scaling Variable u_t, u_h

\Rightarrow IR Physik wird bestimmt durch 2 physik. Parameter:
 t, h (Deviationen vom Fixpunkt)

scaling Variable: analytisch in t, h (vgl. 3.56)
(gilt auch nach einigen RG-Schritten, da RG-Trafo analytisch)

$$\begin{aligned} \Rightarrow u_t &= t/t_0 + \mathcal{O}(t^2, h^2) \\ u_h &= h/h_0 + \mathcal{O}(th) \end{aligned} \quad \begin{array}{l} \nwarrow \text{Bestimmt durch Spin-Umklapp-Symmetrie} \\ \swarrow \end{array} \quad (3.59)$$

(t_0, h_0 : nicht-universelle Konstanten)

(Reminder: RG Trafo in 1D Ising: $\mathcal{H}(\sigma) \rightarrow \mathcal{H}'(\sigma') = N g(k) - k \sum_{j,j'} \sigma_j \sigma_{j'}$)

freie Energie pro site: $f(k) = -N^{-1} \ln Z$, $f(k') = -N'^{-1} \ln Z'$

$$\Rightarrow f(k) = g(k) + \frac{N'}{N} f(k')$$

Allgemeines Trafo-Verhalten der freien Energie pro Site:

$$f(\{k\}) = g(\{k\}) + b^{-d} f(\{k'\}) \quad (3.60)$$

mit $N' = b^{-d} N$ (b : Blocking-Parameter, Block-Länge)

Da $g(\{k\})$ durch Mittelung über kurzreichweitige Fluktuationen entsteht, kann $g(\{k\})$ nicht zu den kritischen Singularitäten beitragen (von langreichweitigen Flukt.)

\Rightarrow Singulärer Teil der freien Energie:

$$f_s(\{k\}) = b^{-d} f_s(\{k'\}) \quad (3.61)$$

\Rightarrow Ising-Modell nahe am Fixpunkt:

$$f_s(u_t, u_h) \stackrel{1.RG}{=} b^{-d} f_s(b^{\theta_t} u_t, b^{\theta_h} u_h) \stackrel{n.RG}{=} b^{-nd} f_s(b^{m\theta_t} u_t, b^{m\theta_h} u_h) \quad (3.62)$$

(hier: irrelevante Variable u_3, u_4, \dots ignoriert, wegen $b^{m\theta_3} u_3 \rightarrow 0$)

Sei nach einigen RG Trafos

$$|b^{m\theta_t} u_t| = u_{t0} \quad (u_{t0} \text{ sei noch im linearisierten FP Regime, d.h. } n \text{ nicht zu groß})$$

$$\Rightarrow b^{m\theta_t} = \left| \frac{u_{t0}}{u_t} \right| \Rightarrow n = \frac{1}{\theta_t} \frac{\ln |u_{t0}/u_t|}{\ln b}$$

$$\Rightarrow f_s(u_t, u_h) = \left| \frac{u_{t0}}{u_t} \right|^{-\frac{d}{\theta_t}} \cdot f_s\left(\pm u_{t0}, u_h \left| \frac{u_t}{u_{t0}} \right|^{-\frac{\theta_h}{\theta_t}}\right) \quad (3.63)$$

LHS: unabh. von $u_{t0} \Rightarrow$ RHS hat nur spärliche Abh. von u_{t0}

elementare Variable: $t, h \Rightarrow u_{t0}$ kann in t_0 absorbiert werden

$$\Rightarrow f_s(t, h) = \left| \frac{t}{t_0} \right|^{\frac{d}{\theta_t}} \overline{\Phi} \left(\frac{h/h_0}{\left(|t/t_0| \right)^{\theta_h/\theta_t}} \right) \quad (3.64)$$

$\overline{\Phi}$: Scaling Funktion (kann verschieden sein für $t \geq 0$)

Kritische Exponenten:

• Spezifische Wärme $\sim \left. \frac{\partial^2 f}{\partial t^2} \right|_{h=0} \sim \Phi(0) |t| \frac{d}{\Theta_t} - 2 \sim |t|^{-\alpha}$

$$\Rightarrow \underline{\alpha = 2 - \frac{d}{\Theta_t}} \quad (3.65a)$$

• Spontane Magnetisierung $\sim \left. \frac{\partial f}{\partial h} \right|_{h=0} \sim \Phi'(0) |t| \frac{d - \Theta_h}{\Theta_t} \sim |t|^\beta$

$$\Rightarrow \underline{\beta = \frac{d - \Theta_h}{\Theta_t}} \quad (3.65b)$$

• Suszeptibilität $\sim \left. \frac{\partial^2 f}{\partial h^2} \right|_{h=0} \sim \Phi''(0) |t| \frac{d - 2\Theta_h}{\Theta_t} \sim |t|^{-\gamma}$

$$\Rightarrow \underline{\gamma = \frac{2\Theta_h - d}{\Theta_t}} \quad (3.65c)$$

• Magnetisierung für $t \rightarrow 0$:

$$M = \frac{\partial f}{\partial h} = |t| \frac{d - \Theta_h}{\Theta_t} \Phi' \left(\frac{h/h_0}{|t/t_0| \Theta_h / \Theta_t} \right)$$

damit $\lim_{t \rightarrow 0}$ existiert, muß $\Phi'(x) \sim x^{\frac{d}{\Theta_h} - 1}$ für $x \rightarrow \infty$

$$\Rightarrow M \sim h^{\frac{d}{\Theta_h} - 1} \sim h^{1/\delta} \Rightarrow \underline{\delta = \frac{\Theta_h}{d - \Theta_h}} \quad (3.65d)$$

\Rightarrow 4 thermodynamische Hauptexponenten folgen aus
2 Eigenwerten des RG.

\Rightarrow Scaling Relationen im Ising-Modell:

$$\begin{cases} \alpha + 2\beta + \gamma = 2 \\ \alpha + \beta(1+\delta) = 2 \end{cases} \quad (3.66)$$

3.4.3 Scaling der Korrelationsfunktion

Korrelationsfunktion auf feinem Gitter: $G(r_1 - r_2; \mathcal{H})$
↑
Humboldtform

" auf grobem Gitter:

$$G'(r_1 - r_2; \mathcal{H}') = G\left(\frac{(r_1 - r_2)}{b}; \mathcal{H}'\right) \quad (3.67)$$

Nah am Fixpunkt muß gelten

$$G\left(\frac{(r_1 - r_2)}{b}; \mathcal{H}'\right) = b^p G(r_1 - r_2; \mathcal{H}), \quad (3.68)$$

aber mit welchem p ?

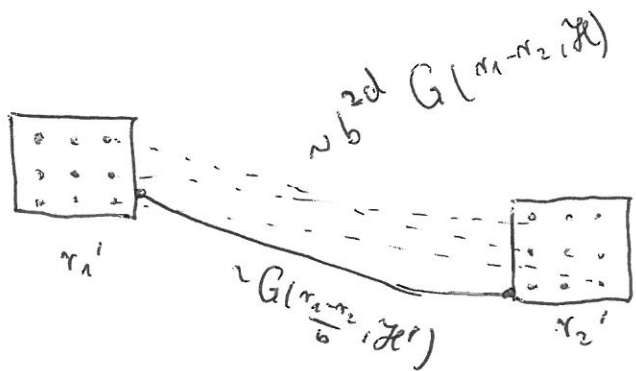
Korrelationsfunktion:

$$\begin{aligned} G(r_1 - r_2; \mathcal{H}) &= \langle \sigma(r_1) \sigma(r_2) \rangle_{\mathcal{H}} - \langle \sigma(r_1) \rangle_{\mathcal{H}} \langle \sigma(r_2) \rangle_{\mathcal{H}} \\ &= \frac{\partial^2}{\partial h(r_1) \partial h(r_2)} \ln Z \Big|_{h(r) = 0} \end{aligned} \quad (3.69)$$

Nahel am Fixpunkt gilt: $u_n \approx h/h_0$, $u'_n = b^{\Theta_n} u_n$
 $\Rightarrow h'(r') = b^{\Theta_n} h(r)$ (für $h(r)$ langsam veränderlich)

$\Rightarrow p \approx -2\Theta_n + \dots$ (für $r_1 - r_2$ groß) (3.70a)

Scaling Beitrag



\Rightarrow Jedes $G(\frac{r_1 - r_2}{b}, \mathcal{H}')$ "enthält" $b^{2d} G(r_1 - r_2, \mathcal{H})$ für $r_1 - r_2$ groß.

$\Rightarrow p \approx 2d + \dots$ dimensioneller Beitrag (3.70b)

$\Rightarrow G(\frac{r_1 - r_2}{b}, \mathcal{H}') = b^{2(d - \Theta_n)} G(r_1 - r_2, \mathcal{H})$ (3.71)

Scaling der Korrelationsfunktion

Für $h=0$ gilt:

$G(r, t) \stackrel{1RG}{=} b^{-2(d - \Theta_n)} G(r/b, b^{\Theta_t} t) \stackrel{RG}{=} b^{-2m(d - \Theta_n)} G(r/b^m, b^{m\Theta_t} t)$

Sei n gegeben durch den Punkt, an dem $b^{m\Theta_t} |t/t_0| = 1$

$\Rightarrow G(r, t) = |t/t_0|^{2 \frac{(d - \Theta_n)}{\Theta_t}} \underline{\Psi\left(\frac{r}{|t/t_0|^{-1/\Theta_t}}\right)}$ (3.72)

mit anderer Scaling Funktion $\bar{\Psi}$.

Da wir für $t \neq 0$ einen exponentiellen Abfall der Korrelationen mit großem r erwarten, muß $\bar{\Psi}(x) \sim e^{-x}$ für $x \rightarrow \infty$, so daß $G(r \gg 1) \sim e^{-\frac{r}{\xi}}$

$$\Rightarrow \xi \sim |t|^{-1/\Theta_t} \sim |t|^{-\nu}$$

$$\Rightarrow \boxed{\nu = \frac{1}{\Theta_t}} \quad (3.73)$$

Für $\underline{t=0}$ gilt:

$$G(r) \stackrel{1RG}{=} b^{-2(d-\Theta_h)} G\left(\frac{r}{b}\right) \stackrel{mRG}{=} b^{-2\eta(d-\Theta_h)} G\left(\frac{r}{b^\eta}\right)$$

$$\Rightarrow G(r) \sim \frac{1}{r^{2(d-\Theta_h)}} \sim \frac{1}{r^{d-2+\eta}}$$

$$\Rightarrow \boxed{\eta = d+2 - 2\Theta_h} \quad (3.74)$$

\Rightarrow Kritische Exponenten der Korrelationsfunktion auch gegeben durch Θ_t und Θ_h

\Rightarrow Hyperscaling Relationen (verknüpfen Spin-Korrelationen mit Thermodynam. Exponenten)

$$d = 2 - d\nu$$

$$\gamma = \nu(2 - \eta)$$

(3.75)

(NB: Voraussetzungen für Hyperscaling:

- WW am Fixpunkt müssen hinreichend kurzreichweitig sein (vgl. 3.70 a+b)
- es darf keine "gefährlichen" irrelevanten Variablen geben, die die freie Energie beeinflussen, aber nicht die Korrelationsfunktion

3.44 Ising-Modell nahe 4 Dimensionen

Je höher die Zahl der Dimensionen, desto ungeeigneter ist eine einfache Block-Spin-Trafo, die das Mittel über alle Spins in einem Block auf $\bar{\sigma} = \pm 1$ abbildet:

$$d=1 : \boxed{\dots} \in \{+3, +1, -1, -3\} \rightsquigarrow \pm 1$$

$$d=2 : \begin{array}{|c|c|} \hline \dots & \dots \\ \hline \end{array} \in \{+9, +7, +5, \dots, -9\} \rightsquigarrow \pm 1$$

$$d : \begin{array}{|c|c|c|} \hline \dots & \dots & \dots \\ \hline \end{array} \in \{b^d, b^{d-2}, \dots, -b^d\}$$

= $b^d + 1$ Elemente nach 1 Block-Spin-Trafo

Besser: "kontinuierlicher" Spin $\Phi(x) \in \mathbb{R}$, der um ± 1 "gepeaked" ist:

$$H = -\frac{1}{2} \sum_{x, x'} J(x-x') \Phi(x) \Phi(x') - H \sum_x \Phi(x) + \bar{\lambda} \sum_x (\Phi(x)^2 - 1)^2$$

"Lagrange-Multiplier"

(3.76)

(NB: Dies sieht nach einer starken Änderung der mikroskopischen Theorie aus; im Sinne der Universalität können jedoch die Unterschiede zur Theorie mit diskreten Variablen "irrelevant" sein. Ein Beweis dieser Irrelevanz ergibt sich in der Tat erst, wenn man beide Theorien löst, und der direkte Vergleich zeigt, daß beide in der gleichen Universalitätsklasse sind. Dies sei im Folgenden angenommen.)

Annahme: langreichweitige Physik ist dominiert durch kurzreichweitige WW:

$$\bar{\int}_{x, x'} \mathcal{J}(x-x') \Phi(x) \Phi(x') \simeq \bar{\int}_{x', x} \mathcal{J}(x-x') \Phi(x) \left[\Phi(x) + (x-x') \cdot \nabla \Phi(x) + \frac{1}{2} (x-x')^2 \nabla^2 \Phi(x) + \dots \right]$$

$$= \int \bar{\int}_x \left(\Phi(x)^2 - R^2 a^2 (\nabla \Phi)^2 + \dots \right)$$

(3.77)

$$\text{mit } \mathcal{J} = \bar{\int}_{x'} \mathcal{J}(x'), \quad R^2 a^2 \mathcal{J} = \bar{\int}_{x'} x'^2 \mathcal{J}(x')$$

(nach sorgfältiger Symmetrisierung und partieller Integration)

$$\bar{\int} \Rightarrow \int \Rightarrow H = \int \left[\frac{1}{2} \mathcal{J} a^2 R^2 (\nabla \Phi)^2 - (2\bar{\mathcal{J}} + \mathcal{J}) \Phi^2 + \bar{\mathcal{J}} \Phi^4 - H \Phi \right] \frac{d^d x}{a^d} \quad (3.78)$$

$$\text{Normierung: } \Phi^2 \rightarrow \frac{a^{d-2}}{\mathcal{J} R^2} \Phi^2$$

$$H = \int \left[\frac{1}{2} (\nabla \Phi)^2 + t a^{-2} \Phi^2 + u a^{d-4} \Phi^4 - h a^{-\frac{d}{2}-1} \Phi \right] dx^d \quad (3.79)$$

mit

$$t = -\frac{(2\bar{\lambda} + J)}{JR^2}, \quad u = \frac{\bar{\lambda}}{J^2 R^4}, \quad h = +\frac{H}{J^{1/2} R}$$

(Landau-Ginzburg - Wilson Hamiltonian)

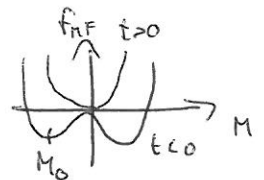
Mean-Field Theory:

Annahme: Freie Energie sei nach Integration über Fluktuationen von der Form H_{LGW} mit $\Phi \rightarrow M$ (mean-field Magnetisierung):

$$f_{MF}(M) = a_1 + a_2 t M^2 + a_3 M^4 + a_4 H M + \dots, \quad (3.80)$$

$$t = \frac{T - T_c}{T_c} \quad (\text{reduzierte Temperatur}),$$

$$a_i \approx \text{const} \quad (\text{schwach abh. von } t)$$

 \Rightarrow kritische Exponenten

$$\text{z.B. } \beta: \quad H=0, t < 0: \quad M_0 \sim (-t)^{1/2} \Rightarrow \boxed{\beta_{MF} = \frac{1}{2}}$$

$$\gamma: \quad H > 0, t > 0: \quad M_0 \stackrel{H \rightarrow 0}{\sim} \frac{a_3 H}{a_1 t} \Rightarrow \boxed{\gamma_{MF} = 1}$$

(Position des Minimums)



ähnlich

$$\boxed{\alpha_{MF} = 0} \quad | \quad \boxed{\delta_{MF} = 3}$$

$$\text{von MFT für Korrelationsfunktion: } \boxed{\nu_{MF} = \frac{1}{2}} \quad \xi \sim \frac{1}{\sqrt{t}}$$

$$\boxed{\eta_{MF} = 0}$$

(3.81)

MFT:

- erstaunlich universell: unabh. von d z.B.
- beruht auf der Annahme: daß die effektive freie Energie eine analytische Funktion des Ordnungsparameters ist.
(Landau-Theorie der Phasenübergänge)
- vernachlässigt Fluktuationen
(qualitativ O.K., wenn Korrelationslänge ξ klein gegen Reichweite R der WW)
Ginzburg Kriterium: $\xi^{4-d} \ll R^4$
 \Rightarrow MFT in der Regel gut in $d > 4$



Kritische Exponenten in $d < 4$:

Problem: Kopplungskonstante $\lambda = u a^{d-4} = \frac{u}{a^{4-d}}$ ist dimensionsbehaftet.

Nah am kritischen Punkt ist ξ die physikalische Skala

\Rightarrow Entwicklungsparameter einer möglichen Störungsreihe:

$$g = \lambda \xi^{4-d}$$

ABER: $g \rightarrow \infty$ für $\xi \rightarrow \infty$ am kritischen Punkt

Störungsreihe bricht zusammen!

⇒ ϵ - Entwicklung

$d=4$: Entwicklungsparameter dim'los , Störungsreihe ist möglich

Idee: Berechne Theorie in $d=4-\epsilon$ Dimensionen und entwickle in ϵ

kontinuierliche Variable $\Phi(x) \Rightarrow$ Feldtheorie

Identifiziere: Stat. System \leftrightarrow Euklidische QFT

Gibbs Freie Energie \leftrightarrow effektive Wirkung

studiere (statt Skalenabhängigkeit vom Blockspin-Parameter b)
Skalenabhängigkeit vom RG Skala μ

Universalitätsklasse Ising-Modell $\leftrightarrow \phi^4$ - Theorie

Wirkung (Feldtheorie) $\hat{=}$ Hamiltonian

$$S \equiv H = \int \left[\frac{1}{2} (\nabla\phi)^2 + \frac{1}{2} m^2 \phi^2 + \frac{1}{4!} \lambda \phi^4 - J\phi \right] d^d x \quad (3.82)$$


Berechne Renormierungsfunktionen als Funktion vom dim'losen Kopplung

$$g = \lambda \mu^{d-4} = \frac{\lambda}{\mu^\epsilon} \quad (3.83)$$

β Funktion:

$$\begin{aligned} \mu \frac{\partial g}{\partial \mu} &\equiv \beta_g(g) = \left(\mu \frac{\partial}{\partial \mu} \frac{1}{\mu^\epsilon} \right) \lambda + \frac{1}{\mu^\epsilon} \mu \frac{\partial}{\partial \mu} \lambda = -\epsilon g + g \frac{\beta_\lambda(\lambda = \mu^\epsilon g)}{\lambda} \\ &= -\epsilon g + \beta_\lambda^{d=4}(g) + \mathcal{O}(\epsilon^2) \end{aligned} \quad (3.84)$$

$$\beta_\lambda(\lambda) = \frac{3\lambda^2}{16\pi^2}$$

$$\Rightarrow \mu \frac{\partial g}{\partial \mu} = \beta_g(g) = -(4-d)g + \frac{3g^2}{16\pi^2} + \dots = \text{graph} \quad (3.85)$$


\Rightarrow Wilson-Fischer Fixpunkt

$$g^* = \frac{16\pi^2}{3} (4-d) + \mathcal{O}(\epsilon^2) \quad \text{IR attraktiv, stabil} \quad (3.86)$$

Kritische Exponenten: (siehe Callen-Symanzik Gleichung)

(Block-Spin Treibe; $\nu = \frac{1}{\theta_t}$, $t' = b^{\theta_t} t$)

Betrachte $b = (1 - \frac{\delta_\mu}{\mu})$ $\delta_\mu \hat{=} \text{"Impulsraum scale"}$

$$\Rightarrow t' = (1 - \frac{\delta_\mu}{\mu} \theta_t) t$$

$$\Rightarrow \mu \frac{\partial t}{\partial \mu} = -\theta_t t \equiv \beta_t \quad (3.87)$$

Vgl. LGW-Hamiltonian: $\frac{1}{5^2} \approx m_R^2 \sim \mu^2 t$

$$\Rightarrow \mu \frac{\partial t}{\partial \mu} = -2t + \frac{1}{\mu^2} \underbrace{\mu \frac{\partial}{\partial \mu} m_R^2}_{m_R^2 \eta_2} \stackrel{(2.64)}{=} -(2 - \eta_2) t$$

$$\Rightarrow \boxed{\nu = \frac{1}{\theta_t} = \frac{1}{2 - \eta_2(g)}} \quad (3.88)$$

η_2 erhalten wir aus (2.47) und (2.64) (siehe auch p. 41 unten)

$$(\delta m^2 \sim \frac{m_R^2}{16\pi^2} \lambda \ln \frac{\mu}{m_R})$$

$$\eta_2 = \frac{\lambda}{16\pi^2} \quad (3.89)$$

$$\Rightarrow \nu = \frac{1}{2 - \frac{(4-d)}{3}} = \frac{3}{2+d}$$

(3.30)

$$\Rightarrow d=3: \quad \nu = 0.60 \quad (\text{Experiment: } 0.648)$$

$$(\epsilon^5\text{-Entwicklung + Borel resummation: } \nu = 0.630(2))$$

$$\text{Lattice: } \nu = 0.631(3)$$

$$\text{Anomale Dimension: QFT: } G(p) \sim \frac{1}{(p^2)^{1-\frac{\eta}{2}}} \quad (d=4)$$

$$\text{Kritischer Exponent: stat. Physik: } G(x) = \frac{1}{x^{d-2+\eta}}$$

$$\text{Fouriertrafo: } p \leftrightarrow \frac{1}{x}$$

$$\Rightarrow \eta_{\text{krit. Exp.}} = \eta_{\text{anom. dim.}}(g_*) \quad \left(\eta(\lambda) = 0 + \mathcal{O}(\lambda^2) \right)$$

$$\Rightarrow \underline{\eta = \frac{1}{54} \epsilon^2} \quad (\approx 0.02 \text{ für } d=3) \quad (3.91)$$

$$\text{Experiment: } (0.016(7) - 0.04(2))$$

$$\epsilon^5: \quad 0.032(3)$$

$$\text{Lattice: } 0.027(5)$$

Bemerkungen:

- Konvergenzverhalten des ϵ -Entwicklung unklar (bestenfalls asymptotische Reihe)
- Bei Rechnungen höherer Ordnung ist eine Borel-Resummation "empfehlenswert"
- $\epsilon=2$ verlässlich? Ising in $d=2$:

	ϵ	exact
ν	0.39(4)	1
η	0.26(5)	0.25